

# Uma comparação entre técnicas adaptativas baseadas em grafos

Daniel Gilio Tiglea, Renato Candido e Magno T. M. Silva

Escola Politécnica - Universidade de São Paulo

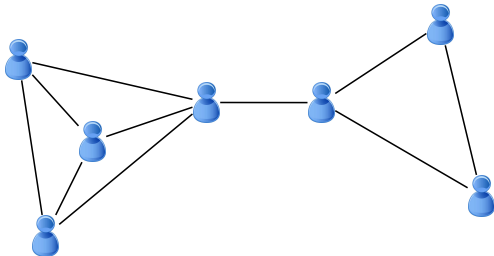
18 de setembro de 2018

- 1 Introdução
- 2 Extensões do Algoritmo LMS a Grafos
- 3 Resultados de Simulação
- 4 Conclusões e Trabalhos Futuros

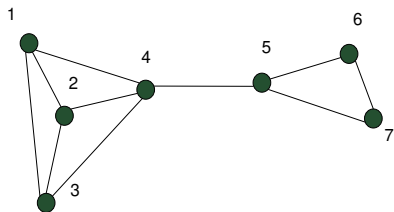
- 1 Introdução
- 2 Extensões do Algoritmo LMS a Grafos
- 3 Resultados de Simulação
- 4 Conclusões e Trabalhos Futuros

Vivemos em um mundo cada vez mais conectado...

- Redes sociais
- Redes inteligentes
- Mineração de dados
- IoT



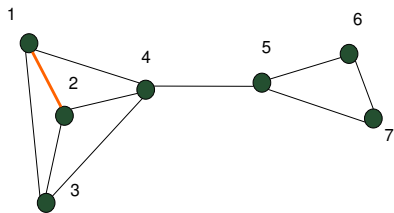
- Um conjunto  $\mathcal{V} = \{v_1, \dots, v_N\}$  de nós
- Um conjunto  $\mathcal{E}$  de arestas



$$\mathbf{A} = \begin{bmatrix} 0 & 1 & 1 & 1 & 0 & 0 & 0 \\ 1 & 0 & 1 & 1 & 0 & 0 & 0 \\ 1 & 1 & 0 & 1 & 0 & 0 & 0 \\ 1 & 1 & 1 & 0 & 1 & 0 & 0 \\ 0 & 0 & 0 & 1 & 0 & 1 & 1 \\ 0 & 0 & 0 & 0 & 1 & 0 & 1 \\ 0 & 0 & 0 & 0 & 1 & 1 & 0 \end{bmatrix}$$

- Representação por meio da **matriz de adjacência**

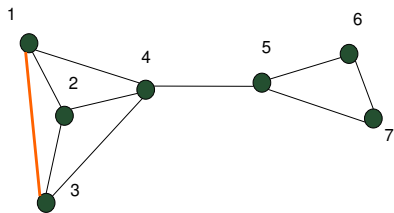
- Um conjunto  $\mathcal{V} = \{v_1, \dots, v_N\}$  de nós
- Um conjunto  $\mathcal{E}$  de arestas



$$\mathbf{A} = \begin{bmatrix} 0 & 1 & 1 & 1 & 0 & 0 & 0 \\ 1 & 0 & 1 & 1 & 0 & 0 & 0 \\ 1 & 1 & 0 & 1 & 0 & 0 & 0 \\ 0 & 0 & 0 & 1 & 0 & 1 & 1 \\ 0 & 0 & 0 & 0 & 1 & 0 & 1 \\ 0 & 0 & 0 & 0 & 1 & 1 & 0 \end{bmatrix}$$

- Representação por meio da **matriz de adjacência**

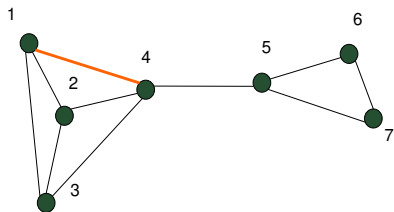
- Um conjunto  $\mathcal{V} = \{v_1, \dots, v_N\}$  de nós
- Um conjunto  $\mathcal{E}$  de arestas



$$\mathbf{A} = \begin{bmatrix} 0 & 1 & 1 & 1 & 0 & 0 & 0 \\ 1 & 0 & 1 & 1 & 0 & 0 & 0 \\ 1 & 1 & 0 & 1 & 0 & 0 & 0 \\ 0 & 0 & 0 & 1 & 0 & 1 & 1 \\ 0 & 0 & 0 & 0 & 1 & 0 & 1 \\ 0 & 0 & 0 & 0 & 1 & 1 & 0 \end{bmatrix}$$

- Representação por meio da **matriz de adjacência**

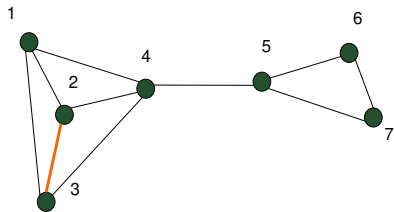
- Um conjunto  $\mathcal{V} = \{v_1, \dots, v_N\}$  de nós
- Um conjunto  $\mathcal{E}$  de arestas



$$\mathbf{A} = \begin{bmatrix} 0 & 1 & 1 & 1 & 0 & 0 & 0 \\ 1 & 0 & 1 & 1 & 0 & 0 & 0 \\ 1 & 1 & 0 & 1 & 0 & 0 & 0 \\ 1 & 1 & 1 & 0 & 1 & 0 & 0 \\ 0 & 0 & 0 & 1 & 0 & 1 & 1 \\ 0 & 0 & 0 & 0 & 1 & 0 & 1 \\ 0 & 0 & 0 & 0 & 1 & 1 & 0 \end{bmatrix}$$

- Representação por meio da **matriz de adjacência**

- Um conjunto  $\mathcal{V} = \{v_1, \dots, v_N\}$  de nós
- Um conjunto  $\mathcal{E}$  de arestas

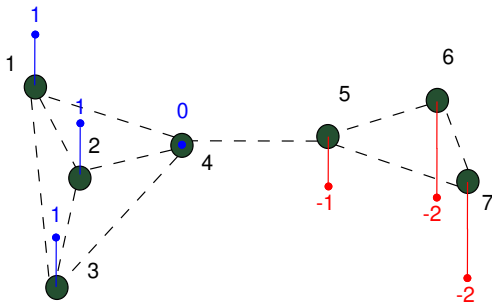


$$\mathbf{A} = \begin{bmatrix} 0 & 1 & 1 & 1 & 0 & 0 & 0 \\ 1 & 0 & 1 & 1 & 0 & 0 & 0 \\ 1 & 1 & 0 & 1 & 0 & 0 & 0 \\ 1 & 1 & 1 & 0 & 1 & 0 & 0 \\ 0 & 0 & 0 & 1 & 0 & 1 & 1 \\ 0 & 0 & 0 & 0 & 1 & 0 & 1 \\ 0 & 0 & 0 & 0 & 1 & 1 & 0 \end{bmatrix}$$

- Representação por meio da **matriz de adjacência**

## Sinais definidos sobre grafos

- A cada nó, associa-se um valor no instante de tempo  $n$



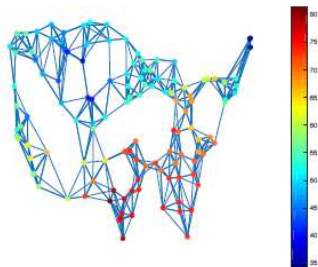
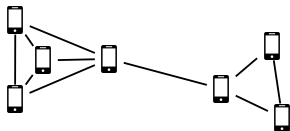
- Representação vetorial da forma:

$$\mathbf{x}(n) = [x_1(n) \cdots x_N(n)]^T$$

Neste exemplo:

$$\mathbf{x}(n) = [1 \quad 1 \quad 1 \quad 0 \quad -1 \quad -2 \quad -2]^T$$

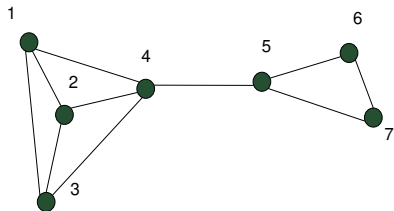
## Exemplos de Aplicação



- 1 Introdução
- 2 Extensões do Algoritmo LMS a Grafos**
- 3 Resultados de Simulação
- 4 Conclusões e Trabalhos Futuros

## Preliminares Matemáticas

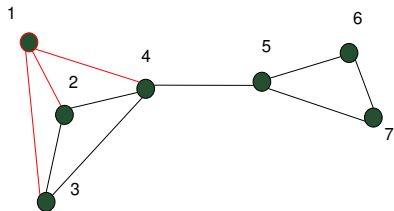
- Matriz diagonal  $\Theta$  contendo o número de vizinhos de cada nó



$$\Theta \triangleq \begin{bmatrix} 3 & 0 & 0 & 0 & 0 & 0 & 0 \\ 0 & 3 & 0 & 0 & 0 & 0 & 0 \\ 0 & 0 & 3 & 0 & 0 & 0 & 0 \\ 0 & 0 & 0 & 4 & 0 & 0 & 0 \\ 0 & 0 & 0 & 0 & 3 & 0 & 0 \\ 0 & 0 & 0 & 0 & 0 & 2 & 0 \\ 0 & 0 & 0 & 0 & 0 & 0 & 2 \end{bmatrix}$$

## Preliminares Matemáticas

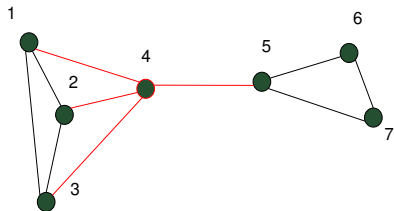
- Matriz diagonal  $\Theta$  contendo o número de vizinhos de cada nó



$$\Theta \triangleq \begin{bmatrix} 3 & 0 & 0 & 0 & 0 & 0 & 0 \\ 0 & 3 & 0 & 0 & 0 & 0 & 0 \\ 0 & 0 & 3 & 0 & 0 & 0 & 0 \\ 0 & 0 & 0 & 4 & 0 & 0 & 0 \\ 0 & 0 & 0 & 0 & 3 & 0 & 0 \\ 0 & 0 & 0 & 0 & 0 & 2 & 0 \\ 0 & 0 & 0 & 0 & 0 & 0 & 2 \end{bmatrix}$$

## Preliminares Matemáticas

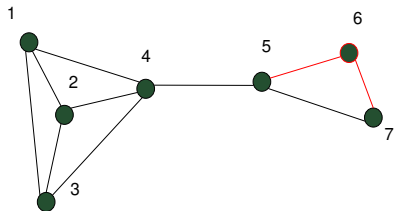
- Matriz diagonal  $\Theta$  contendo o número de vizinhos de cada nó



$$\Theta \triangleq \begin{bmatrix} 3 & 0 & 0 & 0 & 0 & 0 & 0 \\ 0 & 3 & 0 & 0 & 0 & 0 & 0 \\ 0 & 0 & 3 & 0 & 0 & 0 & 0 \\ 0 & 0 & 0 & 4 & 0 & 0 & 0 \\ 0 & 0 & 0 & 0 & 3 & 0 & 0 \\ 0 & 0 & 0 & 0 & 0 & 2 & 0 \\ 0 & 0 & 0 & 0 & 0 & 0 & 2 \end{bmatrix}$$

## Preliminares Matemáticas

- Matriz diagonal  $\Theta$  contendo o número de vizinhos de cada nó



$$\Theta \triangleq \begin{bmatrix} 3 & 0 & 0 & 0 & 0 & 0 & 0 \\ 0 & 3 & 0 & 0 & 0 & 0 & 0 \\ 0 & 0 & 3 & 0 & 0 & 0 & 0 \\ 0 & 0 & 0 & 4 & 0 & 0 & 0 \\ 0 & 0 & 0 & 0 & 3 & 0 & 0 \\ 0 & 0 & 0 & 0 & 0 & 2 & 0 \\ 0 & 0 & 0 & 0 & 0 & 0 & 2 \end{bmatrix}$$

## Graph Fourier Transform [Shuman, 2013]

- Laplaciano  $\mathcal{L}$

$$\mathcal{L} \triangleq \Theta - \mathbf{A}$$



$$\mathcal{L} = \Omega \Lambda \Omega^H$$

Decomposição em  
Autovalores e Auto-  
vetores

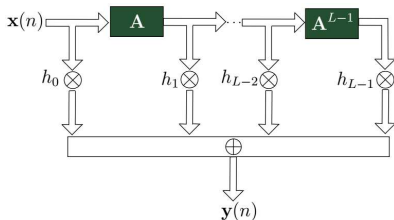
- $\mathbf{s}(n) = \Omega^H \mathbf{x}(n)$ : **GFT** no instante  $n$  do sinal  $\mathbf{x}(n)$
- $\Omega$  matriz unitária  $\rightarrow \Omega^{-1} = \Omega^H$
- $\mathbf{x}(n) = \Omega \mathbf{s}(n)$ : anti-transformada

# Filtragem [Sandryhaila, 2013]

- Filtros em sinais sobre grafos:

Analogia entre  $\mathbf{A}$  e  $z^{-1}$

$$\mathbf{y}(n) = \sum_{\ell=0}^{L-1} h_{\ell} \mathbf{A}^{\ell} \mathbf{x}(n)$$



- $L$ : ordem do filtro

Algoritmo LMS de **di Lorenzo**

- Voltado à predição
- Não utiliza todos os nós em todos os instantes de tempo
- Aproveita a esparsidade da GFT
- Baseado em **[Shuman, 2013]**

$$\mathbf{d}(n) = \mathbf{x}(n) + \mathbf{r}(n)$$

$$\min_{\hat{\mathbf{x}}(n)} \mathbb{E} \|\mathbf{d}(n) - \mathbf{T}(n)\hat{\mathbf{x}}(n)\|^2$$

- $\mathbf{T}(n)$  operador de amostragem

P. Di Lorenzo, S. Barbarossa, P. Banelli, e S. Sardellitti, "Adaptive least mean squares estimation of graph signals," *IEEE Transactions on Signal and Information Processing over Networks*, vol. 2, no. 4, pp. 555-568, 2016

Algoritmo LMS de **di Lorenzo**

- Método do Gradiente

$$\hat{\mathbf{s}}(n+1) = \mathbf{g}_\gamma \left( \hat{\mathbf{s}}(n) + \mu \mathbf{\Omega}^H \mathbf{T}(n) [\mathbf{d}(n) - \mathbf{\Omega} \hat{\mathbf{s}}(n)] \right)$$

$$\hat{\mathbf{x}}(n) = \mathbf{\Omega} \hat{\mathbf{s}}(n)$$

- $\mathbf{g}_\gamma(\cdot)$ : função esparsificadora:

$$\mathbf{g}_\gamma(s_i) = \begin{cases} s_i, & \text{se } |s_i| > \gamma \\ 0, & \text{c.c.} \end{cases}$$

- Usualmente,  $\gamma = \lambda\mu$

## Apresentação dos algoritmos

## Algoritmo LMS de Nassif

- Voltado à identificação de sistemas
- Utiliza todos os nós em todos os instantes de tempo
- Baseado em [Sandryhaila, 2013]

$$\mathbf{d}(n) = \sum_{\ell=0}^{L-1} h_{\ell}^{\circ} \mathbf{A}^{\ell} \mathbf{x}(n) + \mathbf{r}(n)$$

- $\mathbf{Z}(n) \triangleq [\mathbf{x}(n), \mathbf{A}\mathbf{x}(n), \dots, \mathbf{A}^{M-1}\mathbf{x}(n)]$
- Filtro de ordem  $M$ :  $\mathbf{h} = [h_0 \ h_1 \ \dots \ h_{M-1}]^T$

$$\min_{\mathbf{h}} \mathbb{E} \|\mathbf{d}(n) - \mathbf{Z}(n)\mathbf{h}\|^2$$

- Método do Gradiente

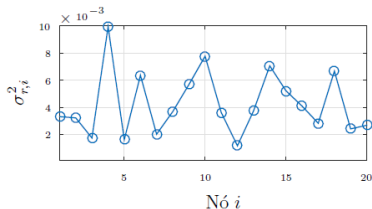
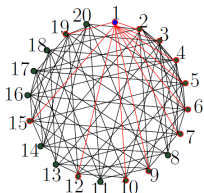
$$\mathbf{h}(n+1) = \mathbf{h}(n) + \mu \mathbf{Z}^T(n) [\mathbf{d}(n) - \mathbf{Z}(n)\mathbf{h}(n)]$$

$$\hat{\mathbf{x}}(n) = \mathbf{Z}(n)\mathbf{h}(n)$$

- 1 Introdução
- 2 Extensões do Algoritmo LMS a Grafos
- 3 Resultados de Simulação**
- 4 Conclusões e Trabalhos Futuros

## Condições da Simulações

- Grafos com 20 nós gerados aleatoriamente (modelo de Erdős-Renyi);
- Variância do ruído diferente para cada nó



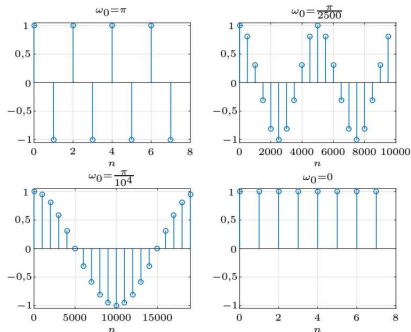
- LMS de **di Lorenzo**:  $\mathbf{T}(n) = \mathbf{I}$ , diferentes valores de  $\mu$  e  $\gamma = \lambda\mu$
- LMS de **Nassif**: diferentes valores de  $M$  e  $\mu$

## Condições da Simulações

- Em cada realização,  $\mathbf{x}(n)$  da forma

$$x_i(n) = b_i + c_i \sin(\omega_0 n + \phi_i)$$

- Diferentes valores de  $\omega_0$
- $b_i \sim \mathcal{N}(0,1)$ ,  $c_i \sim \mathcal{U}(0,1)$  e  $\phi_i \sim \mathcal{U}(0, 2\pi)$

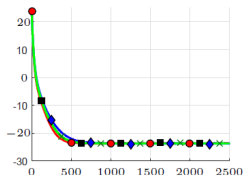
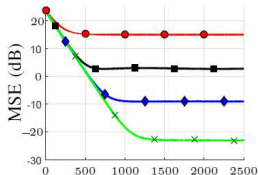


## Identificação de Sistema Invariante no Tempo

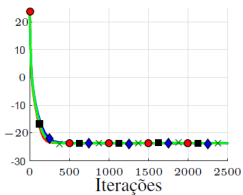
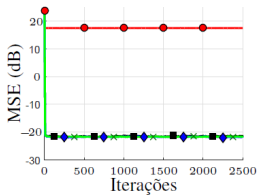
- $\mathbf{d}(n) = \sum_{\ell=0}^{L-1} h_{\ell}^{\circ} \mathbf{A}^{\ell} \mathbf{x}(n) + \mathbf{r}(n)$
- $\mathbf{h}^{\circ} = [h_0^{\circ} \ h_1^{\circ}] = [1 \ 5]^T$
- $\mathbf{r}(n)$  ruído branco gaussiano, com  $\mathbf{R}_r = \text{diag}\{\sigma_{r,i}^2\}_{k=1}^N$
- $\sigma_{r,i}^2$  é a variância do ruído no nó  $i$ .

## Identificação de Sistema Invariante no Tempo

(a) Di Lorenzo:  $\mu=0,005$  e  $\lambda=0,5$  (b) Nassif:  $\mu=5 \cdot 10^{-4}$  e  $M=L=2$

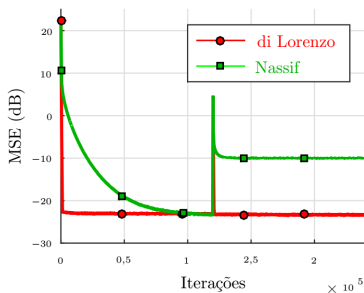


(c) Di Lorenzo:  $\mu=0,5$  e  $\lambda=0,5$  (d) Nassif:  $\mu=10^{-3}$  e  $M=L=2$



## Identificação de Sistema Variante no Tempo

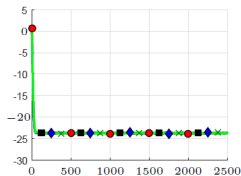
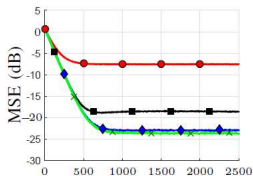
- $\mathbf{x}(n)$  constante no tempo
- Até  $n = 1,2 \cdot 10^5$ :  $\mathbf{h}^o = [1 \ 5 \ 1 \ 1]^T$
- A partir daí:  $\mathbf{h}^o = [1 \ 5 \ 1 \ 1 \ 0,1]^T$
- LMS de **di Lorenzo**:  $\mu = 0,005$ ,  $\lambda = 0,5$
- LMS de **Nassif**:  $\mu = 2,5 \cdot 10^{-5}$ ,  $M = 4$



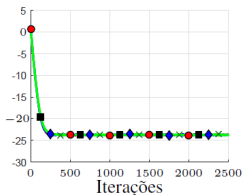
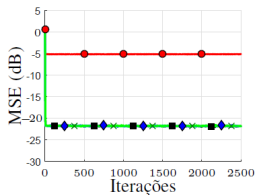
- $\mathbf{d}(n) = \mathbf{x}(n) + \mathbf{r}(n)$
- $\mathbf{r}(n)$  ruído branco gaussiano, com  $\mathbf{R}_r = \text{diag}\{\sigma_{r,i}^2\}_{k=1}^N$
- $\sigma_{r,i}^2$  é a variância do ruído no nó  $i$ .

## Predição

- (a) Di Lorenzo:  $\mu = 5 \cdot 10^{-3}$  e  $\lambda = 0,25$       (b) Nassif:  $\mu = 5 \cdot 10^{-4}$  e  $M = 1$



- (c) Di Lorenzo:  $\mu = 0,5$  e  $\lambda = 0,25$       (d) Nassif:  $\mu = 10^{-3}$  e  $M = 1$



LMS de **di Lorenzo**

- Aumenta, aproximadamente, com  $3N^2$
- Nas simulações realizadas:  $N = 20 \rightarrow 1220 \otimes$ ,  $1160 \oplus$  e 40 comparações por iteração

LMS de **Nassif**

- Aumenta aproximadamente com  $MN^2$
- Nas simulações realizadas:
  - $N = 20$  e  $M = 1$ :  $60 \otimes$  e  $59 \oplus$  por iteração
  - $N = 20$  e  $M = 2$ :  $500 \otimes$  e  $478 \oplus$  por iteração
  - $N = 20$  e  $M = 4$ :  $1380 \otimes$  e  $1316 \oplus$  por iteração

- 1 Introdução
- 2 Extensões do Algoritmo LMS a Grafos
- 3 Resultados de Simulação
- 4 Conclusões e Trabalhos Futuros**

- O LMS de **di Lorenzo** é capaz de realizar identificação não paramétrica de sistemas;
- O algoritmo de **di Lorenzo** é mais sensível a variações temporais de  $\mathbf{x}(n)$ ;
- Passos de adaptação mais elevados podem reduzir essa sensibilidade;
- O LMS de **Nassif** pode ser mais sensível a variações no sistema a ser estimado;
- $M \leq 3$  e  $N = 20$ : LMS de **di Lorenzo** mais custoso computacionalmente;
- $M > 3$  e  $N = 20$ : LMS de **Nassif** mais custoso computacionalmente;

- Escolha do passo de adaptação do algoritmo de **di Lorenzo** em cenários com  $\mathbf{x}(n)$  variante no tempo.
- Implementação do algoritmo de **Nassif** sem utilizar todos os nós.
- Versões distribuídas dos algoritmos considerados.

# Obrigado!

